

## تعیین ضریب پخشیدگی آب و منحنیهای پیشروی جبهه رطوبتی درسه خاک استان اصفهان

فرهاد موسوی و عبدالحمید رضائی

به ترتیب استادیار و مربی دانشکده کشاورزی دانشگاه صنعتی اصفهان

تاریخ وصول بیست و ششم آذرماه ۱۳۶۸

### چکیده

برای بررسی جریان آب در خاکهای غیرآشباع، منحنی ضریب پخشیدگی آب در خاک، ( $D(\theta)$ )، مورد نظر است. در این آزمایش، ضریب پخشیدگی آب درسه خاک از استان اصفهان شامل لورک نجف آباد، مزرعه دانشگاه صنعتی اصفهان و اردستان (به ترتیب دارای بافت رس سیلتی، لوم شنی و لوم رسی شنی) به روش بروس و کلوت بررسی شد. لوله های شیشه‌ای آزمایش، با قطر داخلی  $25/00$ ،  $55/1$  و  $35/2$  سانتیمتر و طول  $150$  سانتیمتر، به اندازه های  $5$  سانتیمتری بریده و با چسب کاغذی به هم متصل شدند. خاک الک شده به طور یکنواخت در داخل لوله ها ریخته شد. یک بطری ماریوت آب مورد نیاز آزمایش را تامین می‌کرد. لحظه شروع آزمایش با کرونومتر یادداشت و محل جبهه رطوبتی علامت گذاری گردید. پس از  $25$  ساعت حرکت آب در خاک، با کاردک تیز قطعات لوله از هم جدا و رطوبت و جرم مخصوص ظاهری خاک هرقطعه اندازه گیری شد. منحنی های رطوبت حجمی در مقابل فاصله رسم شد و با استفاده از فرمول بروس و کلوت مقادیر ضریب پخشیدگی برای مقادیر مختلف رطوبت محاسبه شد. منحنی محل جبهه رطوبتی برای هرسه خاک و سه قطر لوله رسم گردید و معادلات همبستگی آنها بدست آمد.

نتایج نشان داد که: الف) مقدار ضریب همبستگی در رطوبت های پائین کم بوده و با افزایش رطوبت بتدريج برمقدار آن افزوده می‌شود، ب) پس از  $25$  ساعت جبهه رطوبتی در خاک لوم شنی بیشتر از دو خاک دیگر پیشروی کرده است و ج) میزان ضریب پخشیدگی لوله های با قطر مختلف متفاوت است.

مقدمه  $\frac{dh_t}{dt}$  تغییر در میزان رطوبت بافت متخلخل بازاء

برای بررسی جریان آب در خاک غیرآشباع به

یک واحد تغییر دربار مکش یا تنش رطوبتی است.

منحنی ضریب پخشیدگی<sup>۱</sup>، ( $D(\theta)$ )، نیاز می‌باشد.

و ضریب پخشیدگی نیز به صورت زیر می‌باشد:

$$v = -D \frac{\partial \theta}{\partial x} \quad [2]$$

از معادله ۲، که اهمیت فیزیکی  $D$  را بیان می‌کند،

چنین استنباط می‌شود که حجم آب عبوری از یک مقطع

ضریب پخشیدگی طبق رابطه زیر تعریف شده است (۷):

$$D = K \frac{dh_t}{dt} = K / (\frac{d\theta}{dt}) \quad [1]$$

در معادله فوق،  $K$  و  $\frac{d\theta}{dt}$  تابعی از رطوبت خاک

( $\theta$ ) می‌باشند. پارامتر  $K$  همان هدایت موئینگی و

با جاگذاری متغیر  $\lambda$  در معادله ۳، این معادله به يك معادله دیفرانسیل خطی تبدیل میشود:

$$-\frac{\lambda}{2} - \frac{d\theta}{d\lambda} = \frac{d}{d\lambda}(D) \frac{d\theta}{d\lambda} \quad [9]$$

که با انتگرال گیری از آن نسبت به :

$$-\int_{\theta_i}^{\theta_x} \frac{\lambda}{2} d\theta = \int_{\lambda_i}^{\lambda_x} \frac{d}{d\lambda}(D) \frac{d\theta}{d\lambda} d\lambda \quad [10]$$

و یا :

$$-\frac{1}{2} \int_{\theta_i}^{\theta_x} \lambda d\theta = D(\theta_x) \left( \frac{d\theta}{d\lambda} \right)_{\theta_x} - D(\theta_i) \left( \frac{d\theta}{d\lambda} \right)_{\theta_i} \quad [11]$$

که معنی این است که  $D(\theta/\lambda)$  و  $d\theta/d\lambda$  به معنی ارزیابی  $\theta/\lambda$  در  $x$  میشوند. قسمت

دوم سمت راست معادله ۱۱ نیز براساس شرط مترزی

معادله ۸ برابر صفر است. پس:

$$D(\theta_x) = -\frac{1}{2} \left( \frac{d\lambda}{d\theta} \right) \int_{\theta_i}^{\theta_x} \lambda d\theta \quad [12]$$

بروس وکلوت (۳) مقدار  $D(\theta)$  را از اطلاعات آزمایشی به صورت زیر ارزیابی کردند:

(الف) رسم  $\theta$  در مقابل  $\lambda$ ، ب) اندازه گیری  $\theta_x$  ( $d\theta/d\lambda$ ) از این منحنی و (ج) ارزیابی  $\lambda d\theta$  با یک روش تقریبی. رطوبت خاک را نیز با قطعه قطعه کردن لوله افقی و به طریق وزنی بدست آوردند. این روش تعیین رطوبت خاک بعداً "توسط محققین دیگر (۴، ۵ و ۱۰) توسط دستگاه اشعه گاما انجام گرفت. ضرائب پخشیدگی بدست آمده از دو روش قطعه کردن لوله و اشعه گاما بسیار به یکدیگر نزدیک بوده و قابل اطمینان میباشد.

(۱۰)

از آنجاکه در ایران دستگاه اشعه گاما در اختیار همگان نیست، به نظر میرسد که روش قطعه قطعه کردن لوله جهت تعیین رطوبت خاک عملی باشد. هدف این مقاله تعیین ضرائب پخشیدگی آب و منحنیهای پیش روی جبهه رطوبتی درسه خاک استان اصفهان است.

فرضی یک سانتیمترمربعی خاک درجهت عمودبر محور  $X$  برابر است با  $D$ - ضربدر گرادیان رطوبت خاک بزر خلاف جریان گرما در خاک، که در آن مقدار  $D$  ثابت فرض میشود، مقدار  $D$  در حرکت آب در خاک غیر اشاع تابعی از رطوبت خاک میباشد.

برای تعیین  $D$  از روش بروس وکلوت (۳) استفاده فراوانی میشود. معادله این روش به صورت زیر است:

$$\frac{\partial \theta}{\partial t} = -\frac{\partial}{\partial x} \left( D \frac{\partial \theta}{\partial x} \right) \quad [3]$$

که  $\theta =$  میزان رطوبت حجمی خاک (سانتیمترمکعب آب در سانتیمترمکعب خاک).

$x =$  فاصله افقی (سانتیمتر)

و  $D =$  ضریب پخشیدگی آب در خاک (سانتیمترمربع بزر ثانیه یا سانتیمترمربع بردقیقه).

شرایط مرزی معادله ۳ عبارتند از:

$$[1] \text{ الف} \quad t=0 \text{ و } x > 0 \text{ برای } \theta_i = \theta(x=0, t=0)$$

$$[2] \text{ ب} \quad x=0 \text{ و } t \geq 0 \text{ برای } \theta_s = \theta(x=0, t \geq 0)$$

که  $\theta_i$  رطوبت اولیه و  $\theta_s$  رطوبت اشاع خاک است.

دراینجاتبدیل (یا تغییر متغیر) بولتزمن<sup>۱</sup> انجام میگیرد (۳) و فرض میشود که:

$$\theta = f(\lambda) \quad [4]$$

که  $\lambda$  تابعی از  $x$  و  $t$  است:

$$\lambda = st^{-1/2} \quad [5]$$

درابطه با معادله ۴، شرایط مرزی فوق به صورت زیر نوشته میشوند:

$$[6] \quad 1) \theta_i = \theta(\lambda = \infty, t = \infty) \quad \theta = \infty \rightarrow \infty$$

$$[7] \quad 2) \theta_s = \theta(\lambda = 0, t = 0) \quad \theta = 0$$

همچنین شرط مرزی سومی نیز به صورت زیرنوشته میشود:

$$[8] \quad 3) \frac{d\theta}{d\lambda} = 0 \text{ برای } \theta = \theta_i$$

طول لوله افقی پس از اتصال به منبع آب تا بینهایت ادامه داشته باشد، اما محققین برای کارهای عملی از لوله های افقی با طول محدود استفاده می کنند (۴، ۳، ۲) و (۸) .

### مواد و روشها

در این آزمایش (که در تابستان ۱۳۶۸ انجام شد)، ضریب پخشیدگی آب درسه خاک از مناطق لورک نجف - آباد (بافت رس سیلتی)، مزرعه دانشگاه صنعتی اصفهان (بافت لوم شنی) و اردستان (بافت لوم رسی شنی) مورد بررسی قرار گرفت. هدایت الکتریکی این خاکها به ترتیب  $1/7$ ،  $1/4$  و  $1/1$  میلی موز بر سانتیمتر، درجه آسیدی آنها  $7/6$ ،  $7/2$  و  $2/3$  و هدایت الکتریکی آب مورد استفاده در آزمایش  $65/0$  میلی موز بر سانتیمتر بود. لوله های آزمایش از جنس شیشه و به قطرهای داخلی  $0/75$ ،  $0/3$  و  $1/1$  سانتیمتر به طول  $150$  سانتیمتر بود.

هر آزمایش درسه تکرار انجام و بهترین نتایج از لحظه یکنواختی توزیع خاک در لوله و کمترین پراکنش نقاط اطراف منحنی ها انتخاب گردید. برای شروع آزمایش ابتدا لوله های شیشه ای به اندازه های  $5$  سانتیمتری بریده و با چسب کاغذی به هم متصل شدند. طبیعی است هر چه طول قطعات کوچکتر باشد نتایج بهتری حاصل می گردد، اما بریدن شیشه ها به قطعات کوچکتر در اینجا امکان نداشت. رطوبت اولیه این خاکها با استفاده از آون بدست آمد. نمونه خاک خشک شده در هوا را پس از عبور از  $2$  میلی متری، توسط لوله باریکی در داخل لوله شیشه ای ریخته و با تکان دادن آن سعی شد بطور یکنواخت در لوله متراکم گردد. لوله شیشه ای پراز خاک بر روی میزی صاف و کاملانه "تراز قرار داده شد و توسط لوله ای پلاستیکی به یک بطری ماریوت

### بررسی منابع :

اشکرافت و همکاران (۱) روشی عددی را جهت حل معادله پخشیدگی رطوبت ارائه داده اند که در مورد خاک غیر یکنواخت و با طول محدود نیز کاربرد دارد. نتایج این کار با روش استفاده از تبدیل بولتزمن و نتایج تجربی مقایسه شده و تشابه جوابها به ثبوت رسیده است. ویسلرو همکاران (۱۱) روشی را برای اندازه گیری ضریب پخشیدگی آب در خاک پیشنهاد داده اند که بر اساس اندازه گیری رطوبت خاک با اشعه گاما به صورت تابعی از زمان در یک نقطه ثابت در یک سیستم نفوذ آب به خاک افقی بنا شده است. نتایج نشان داد که مقادیر ضریب پخشیدگی تغییرات زیادی، بخصوص در رطوبتهاي بالا دارد. سلیم و همکاران (۱۰) میزان رطوبت را در یک نقطه ثابت در طول زمان توسط دستگاه اشعه گاما اندازه گیری کرده و آن را با میزان رطوبت در یک زمان ثابت در طول لوله افقی خاک مقایسه کردند. مقادیر ضریب پخشیدگی بدست آمده از این دو روش مشابه تر خوبی داشته و آن را دلیل بر اعتبار معادله جریان آب در خاک غیر اشباع دانستند. براندیک و کرکهام (۲) مقادیر ضریب پخشیدگی و رطوبت را برای دو خاک آلی و شنی در یک زمان ثابت با قطعه قطعه کردن لوله افقی خاک (به طول کلی  $50$  سانتیمتر و قطر  $1/5$  سانتیمتر) بدست آوردند. تفاوت این ضریب و همچنین مقدار آب جذب شده در این دو خاک بسیار زیاد بود و نشان داده شد که منحنی ضریب پخشیدگی در مقابل رطوبت برای هر خاک باید تهیه گردد. همچنین مقایسه نتایج آزمایش آنها با راه حل فیلیپ (۷) برای نفوذ افقی تطابق خوبی و نشان داد. ضریب پخشیدگی در مورد نفوذ آب به خاک عمودی (۵)، حرکت بخار آب (۶) و پخش مواد شیمیائی در خاک (۹) نیز کاربرد دارد. گرچه از لحظه تئوری باید

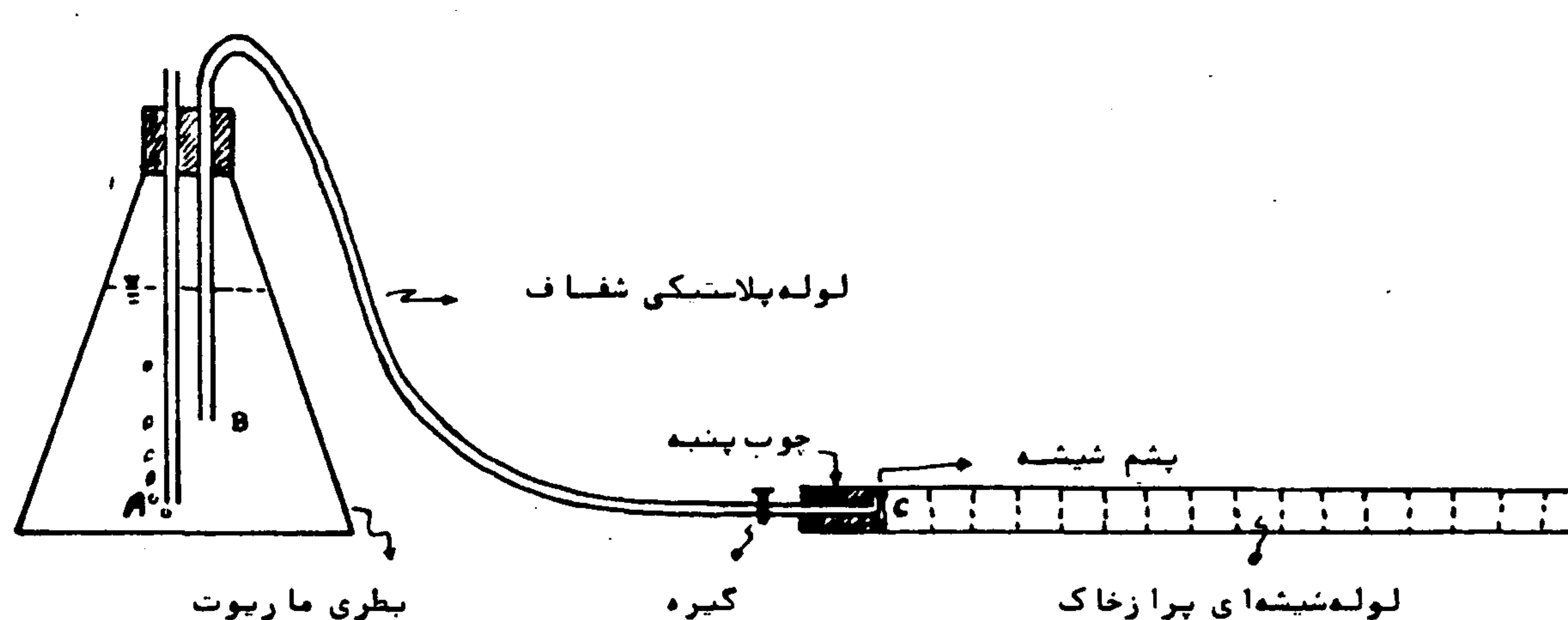
به لوله دیگر بود. بطورکلی، انحراف معیار مقادیر جرم مخصوص ظاهری قطعات مختلف در لوله ها از  $0.057 \text{ cm}$  گرم بر سانتیمتر مکعب کمتر شد. به این ترتیب یقین حاصل گردید که نمونه ها به خوبی در لوله های آزمایش قرارداده شده اند و خاک ها یکنواختند. منحنی های مقدار رطوبت حجمی در مقابل فاصله رسم شده و با استفاده از فرمول ۱۲ منحنی ضریب پخشیدگی آب در مقابل میزان رطوبت رسم گردید. منحنی های فاصله جبهه رطوبتی تا مبدأ نفوذ آب نسبت به جذر زمان نیز برای تمام خاک ها رسم شد و معادلات همبستگی آنها بدست آمد.

### نتایج و بحث

نتایج بدست آمده از لوله شیشه ای با قطر  $0.75 \text{ cm}$  سانتیمتر به لحاظ مشکل بودن اتصال لوله به بطری ماریوت، غیریکنواختی خاک داخل لوله، تغییرات شدید مقادیر رطوبت قطعات مختلف پراکنش زیاد مقادیر ضریب پخشیدگی در اطراف منحنی مربوطه چندان رضایت بخش نبود و از آزمایش حذف گردید. در شکل های ۲ تا ۴ نتایج درصد رطوبت حجمی در مقابل فاصله و مقدار ضریب پخشیدگی آب در مقابل درصد رطوبت حجمی نشان داده شده است. در قسمت (الف)

پراز آب وصل گردید (شکل ۱). این اتصال به طریقی انجام گرفت که هیچگونه ارتفاع آبی بر روی مرکزلوله شیشه ای وجود نداشته باشد ( نقطه A و C در یک ارتفاع قرار گرفتند). در این صورت آنقدر آب وارد خاک می شود که خاک می تواند جذب کند (۷). ابتدا لوله پلاستیکی توسط چوب پنبه و مقدار کمی پشم شیشه به خاک متصل گردید. انتهای دیگر لوله پراز خاک باز و در ارتباط با هوا بود. لحظه شروع آزمایش و ورود آب به خاک با کرونومتر یادداشت گردید و محل جبهه رطوبتی در زمانهای مختلف علامت گذاری شد. پس از ۲۵ ساعت، اتصال خاک به بطری ماریوت را قطع کرده و با کاردک تیز سریعاً قطعات لوله شیشه ای را از هم جدا کرده وزن خاک مرطوب همراه با قطعه لوله تعیین گردید. قطعات لوله حاوی خاک مرطوب در آن  $105^{\circ}\text{C}$  خشک گردیدند. با تعیین جرم مخصوص ظاهری خاک هر قطعه و درصد رطوبت وزنی آن، رطوبت حجمی محاسبه گردید.

جدول ۱ میانگین و انحراف معیار جرم مخصوص ظاهری سه خاک مورد مطالعه را نشان می دهد. در این جدول دیده می شود که خاک های لورک و اردستان در لوله ۱/۵۵ سانتیمتری دارای انحراف معیار کمتری نسبت به دو لوله دیگر هستند. لوله ۲/۳۵ سانتیمتری در هر سه خاک دارای میانگین جرم مخصوص ظاهری کمتری نسبت



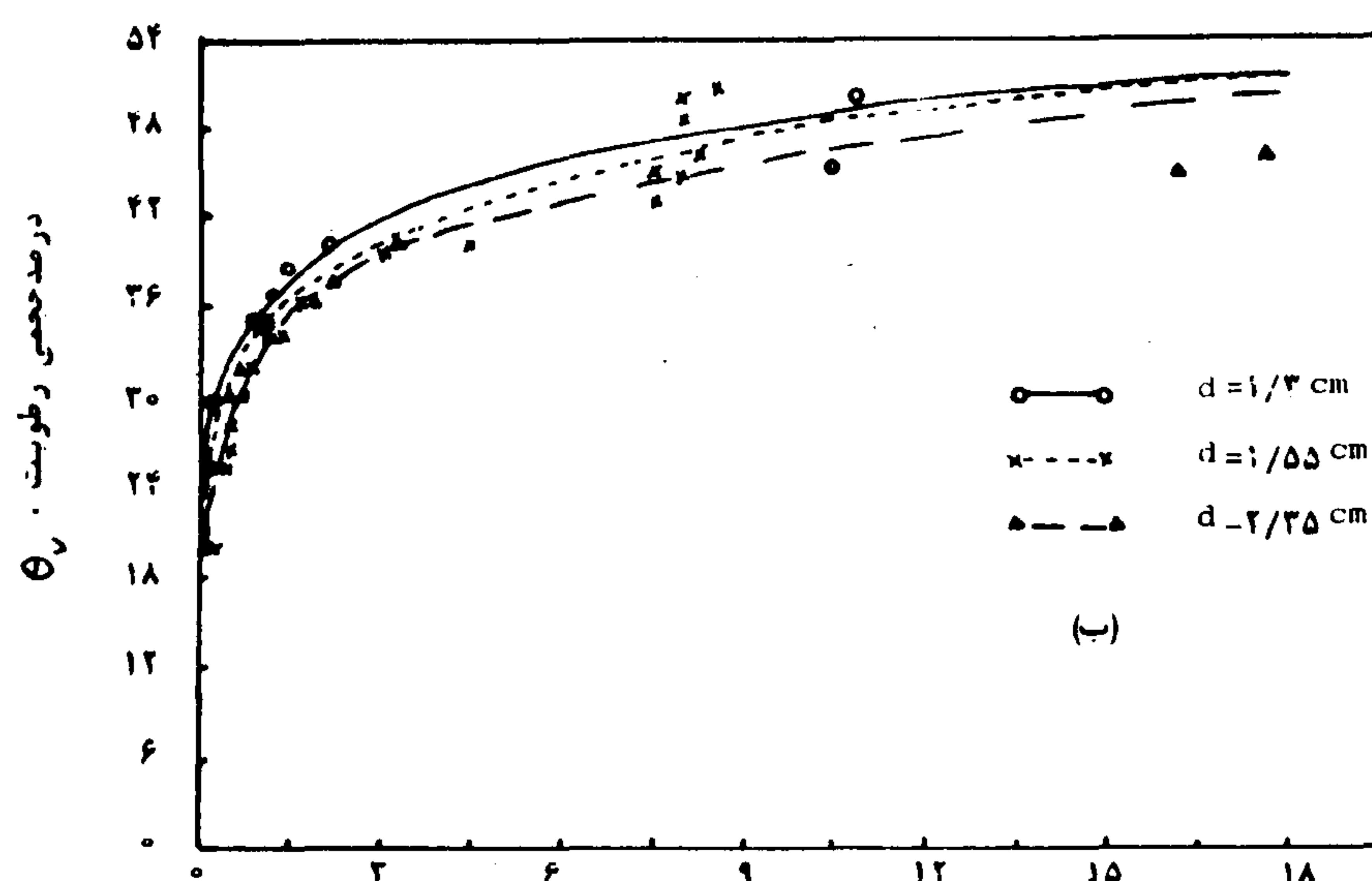
شکل ۱- شماتی دستگاه تعیین ضریب پخشیدگی و پیش روی جبهه رطوبتی.

جدول ۱- میانگین و انحراف معیار جرم مخصوص ظاهری (گرم بر سانتیمترمکعب) خاکهای مورد مطالعه

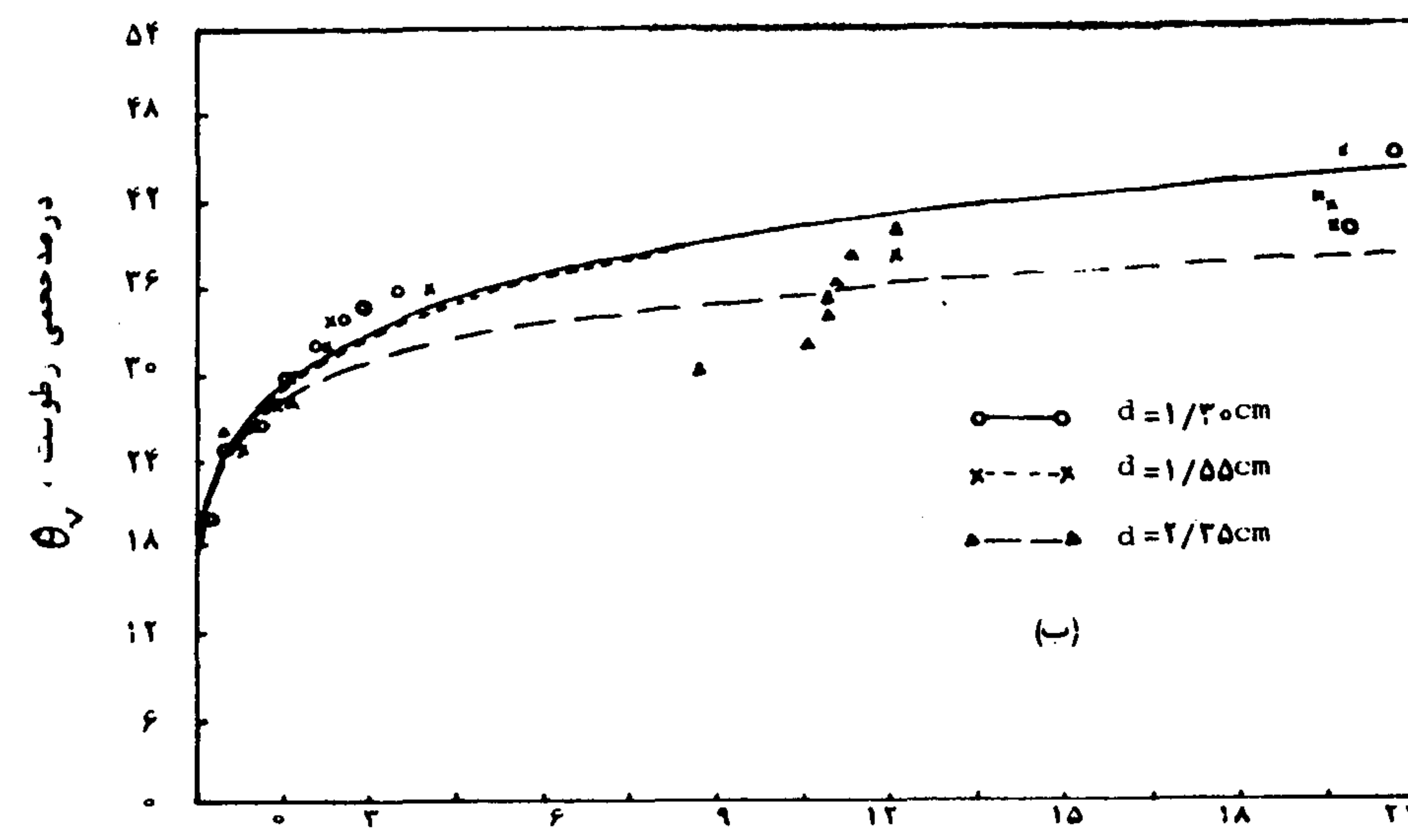
قطولله (سانتیمتر)	خاک دانشگاه		خاک اردستان		خاک لورک	
	انحراف معیار	میانگین	انحراف معیار	میانگین	انحراف معیار	میانگین
۱/۳	۱/۵۶۵	۰/۰۴۷	۱/۴۶۰	۰/۰۵۶	۱/۳۷۹	۰/۰۵۷
۱/۵۵	۱/۵۸۵	۰/۰۴۷	۱/۴۳۲	۰/۰۴۶	۱/۴۱۵	۰/۰۴۸
۲/۳۵	۱/۴۲۲	۰/۰۳۷	۱/۳۸۶	۰/۰۵۶	۱/۳۶۲	۰/۰۵۵

با یک شیب تند به رطوبت اولیه خاکها وصل شده است  
(۷) میزان رطوبت اولیه خاکها به ترتیب ۱، ۱/۵ و ۲/۳۵ درصد وزنی برای خاک دانشگاه، لورک و اردستان بود.

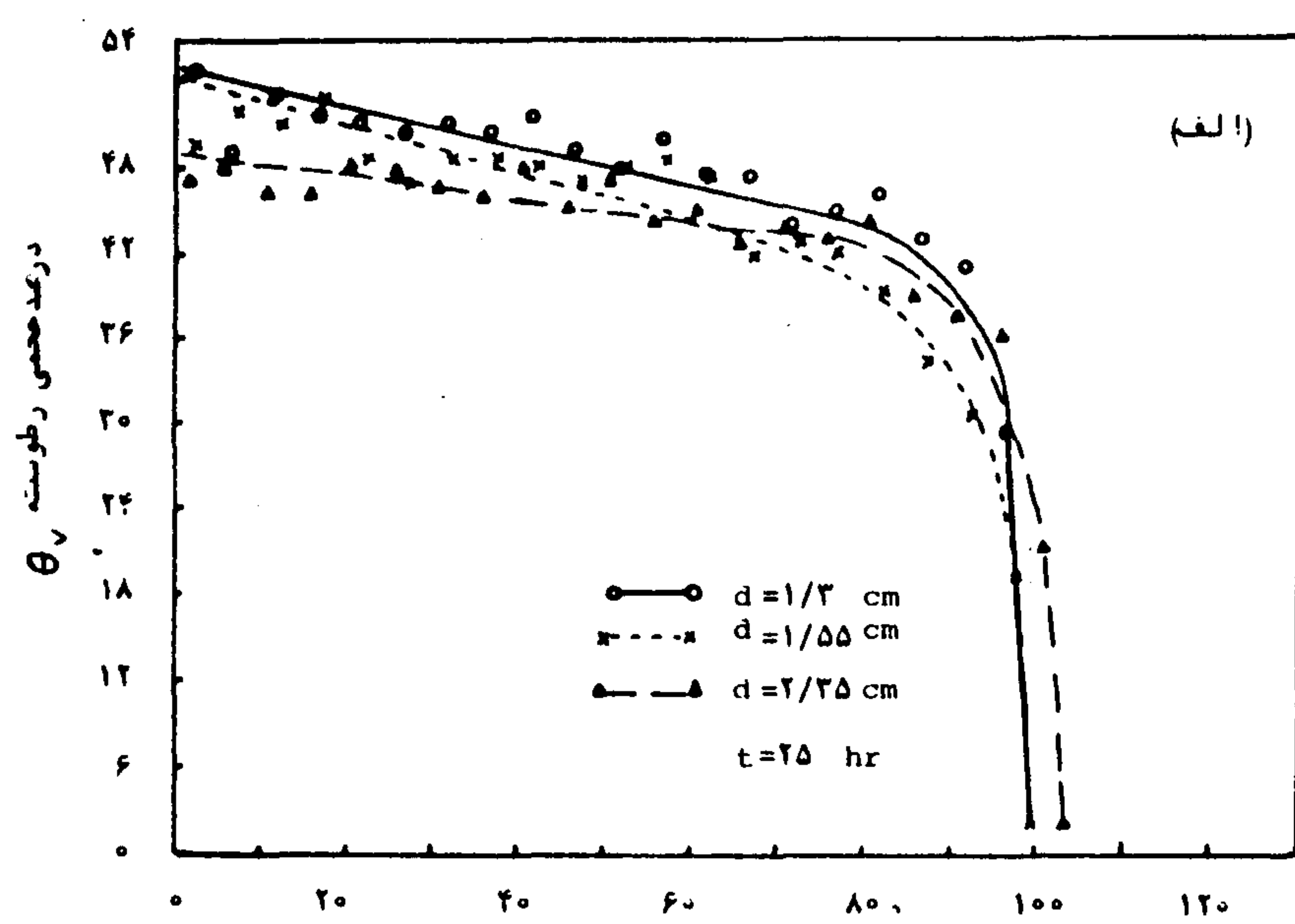
هر کدام از این شکلها دیده می‌شود که با افزایش فاصله  
میزان رطوبت کم می‌شود. منحنی‌ها با بهترین برازش  
بر روی نقاط آزمایش ترسیم شده‌اند. انتهای منحنی‌ها



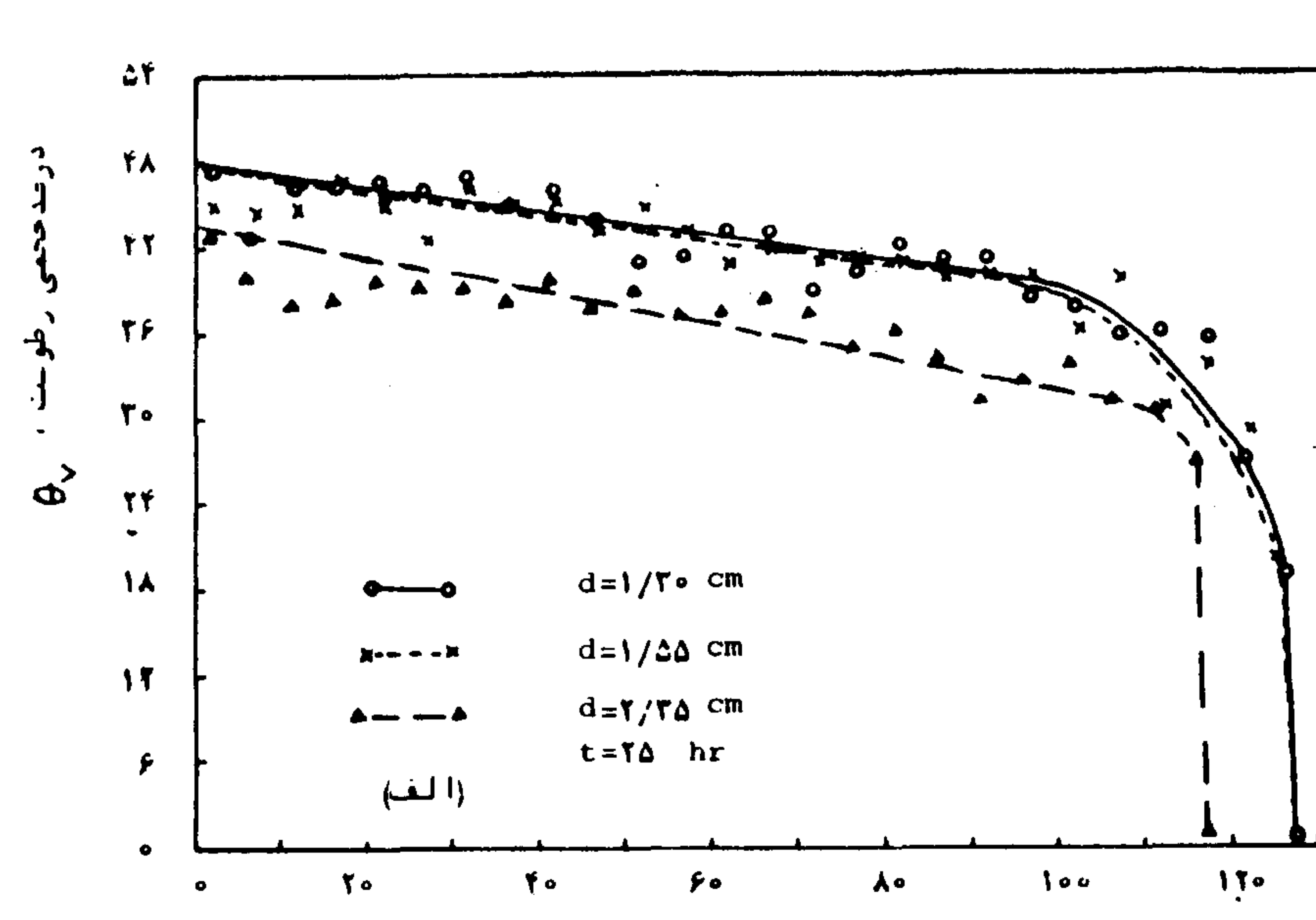
ضریب پخشدگی، D ، سانتیمترمربع بر دقیقه



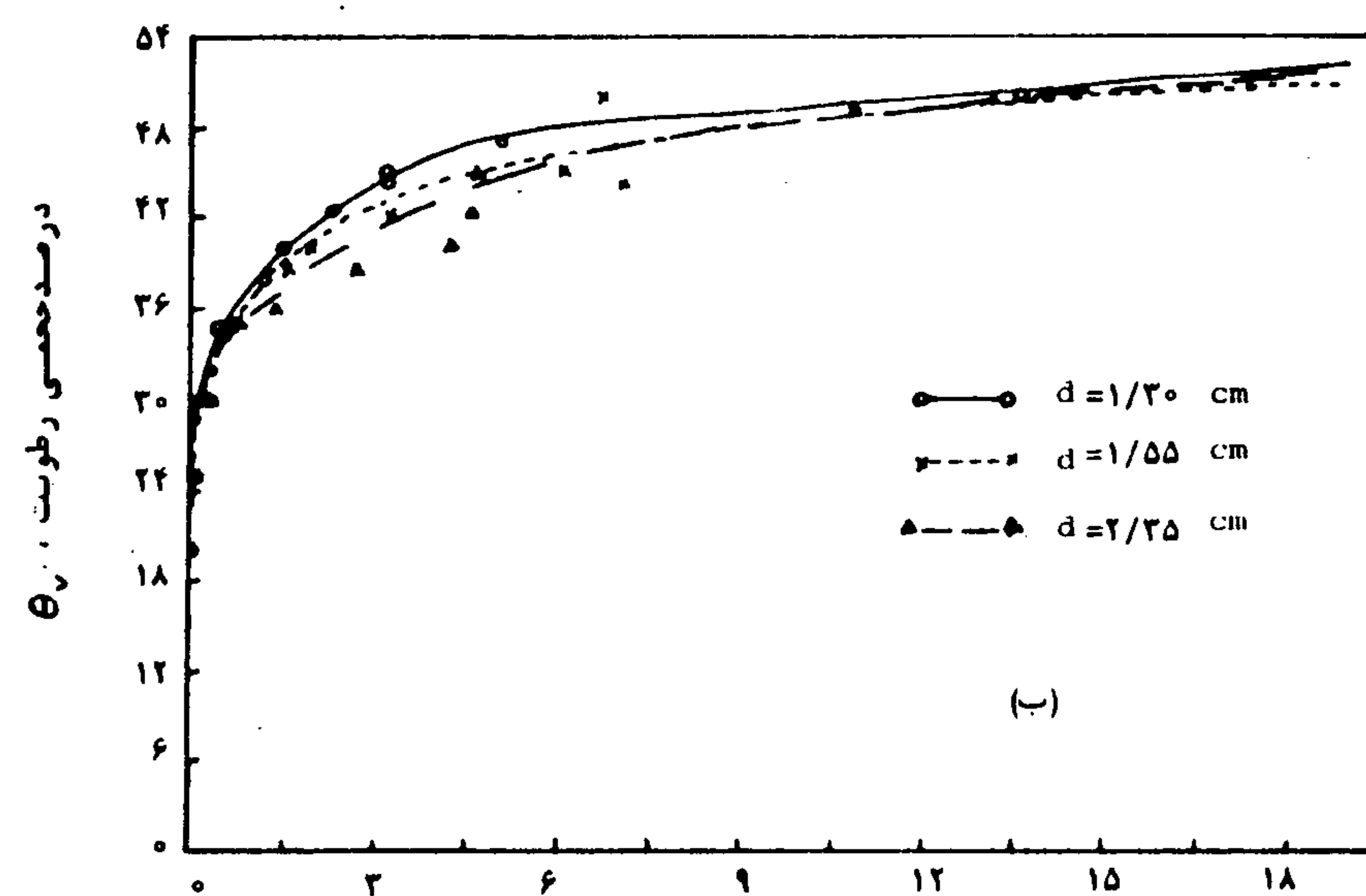
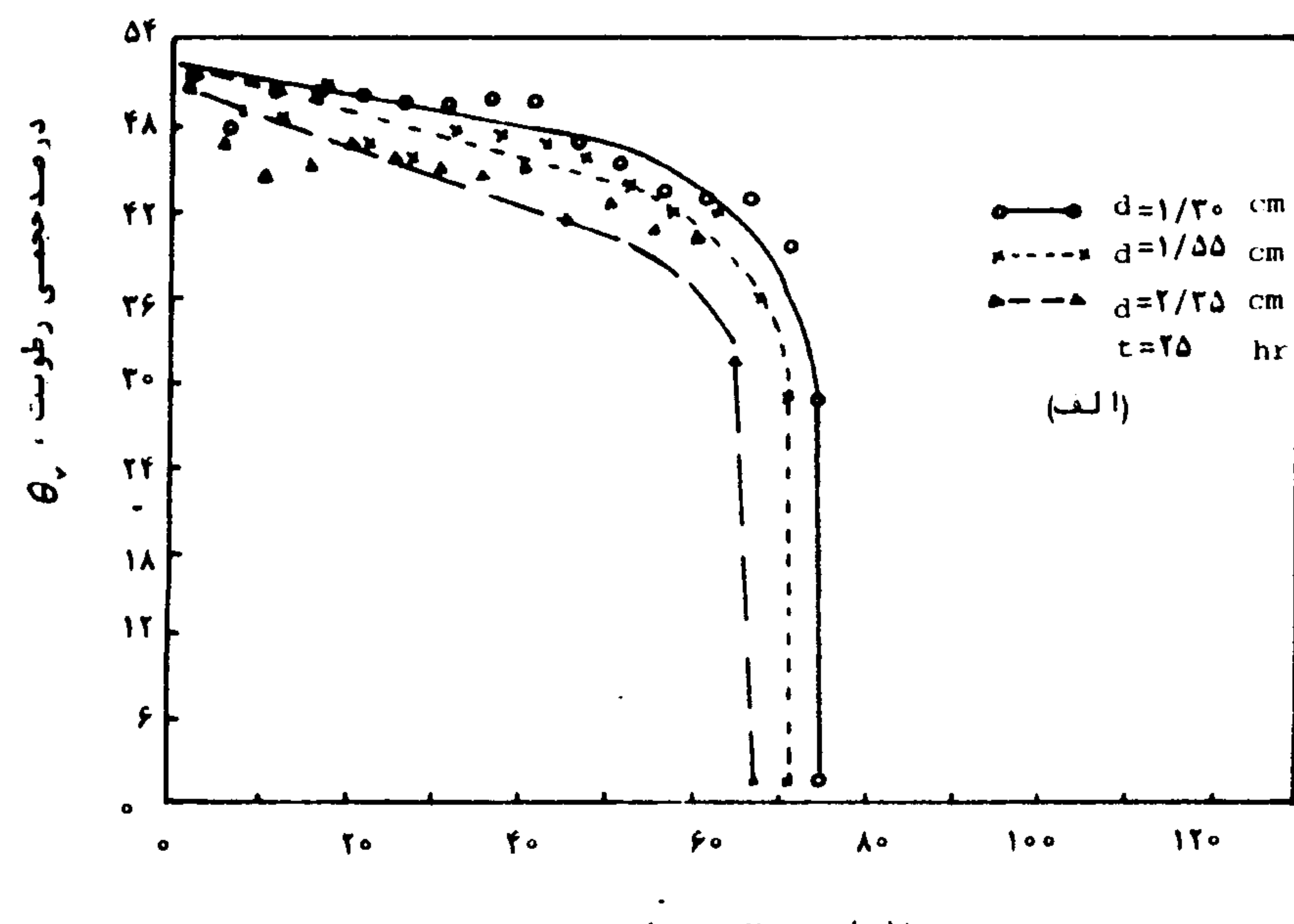
ضریب پخشدگی، D ، سانتیمترمربع بر دقیقه



شکل ۲- رابطه ضریب پخشدگی و فاصله با درصد حجمی رطوبت در  
خاک اردستان (درصد وزنی رطوبت خاک اشباع = ۵/۳۸٪ )



شکل ۲- رابطه ضریب پخشدگی و فاصله با درصد حجمی رطوبت در  
خاک دانشگاه (درصد وزنی رطوبت خاک اشباع = ۵/۳۰٪ )

ضریب پخشیدگی،  $D$  ، سانتیمتر مربع بر دقیقه

شکل ۴- رابطه ضریب پخشیدگی و فاصله با درصد حجمی رطوبت در خاک لورک (درصد وزنی رطوبت خاک اشبع = ۴۸٪)

به صورت خط مستقیم بوده و رابطه خطی بین این دو پارامتر را بیان می‌کنند. با مقایسه این شکل‌ها دیده می‌شود که جبهه رطوبتی در خاک لوم شنی دانشگاه بیشتر از دو خاک سنگین تر دیگر نفوذ کرده است. به تعبیری دیگر، زمان رسیدن جبهه رطوبتی به یک فاصله معین در خاک لوم شنی کمتر از خاک رس سیلتی می‌باشد. این مسئله برای لوله  $1/55$  سانتیمتری در خاک‌های مختلف شکل ۶- ب نشان داده شده است. معادلات خطوط شکل‌های ۵ و ۶ در جدول ۳ ذکر گردیده‌اند. در این جدول نیز دیده می‌شود که ضریب همبستگی بسیار زیاد است. این معادلات شبیه به معادله

$$X = Nt^{\left(\frac{1}{2}\right)} + a$$

منحنی لوله  $2/35$  سانتیمتری عموماً "پائین تر" و منحنی لوله  $1/3$  سانتیمتری بالاتر از دو منحنی دیگر قرار دارد. از لحاظ تئوری، نقاط باید بر روی یک منحنی مشخص قرار گیرند. اما به دلیل بزرگ بودن طول قطعات لوله‌ها ( $5$  سانتیمتر طول) و عواملی نظیر چسبیدن خاک مرطوب به تیغه کاردک چنین نشده است.

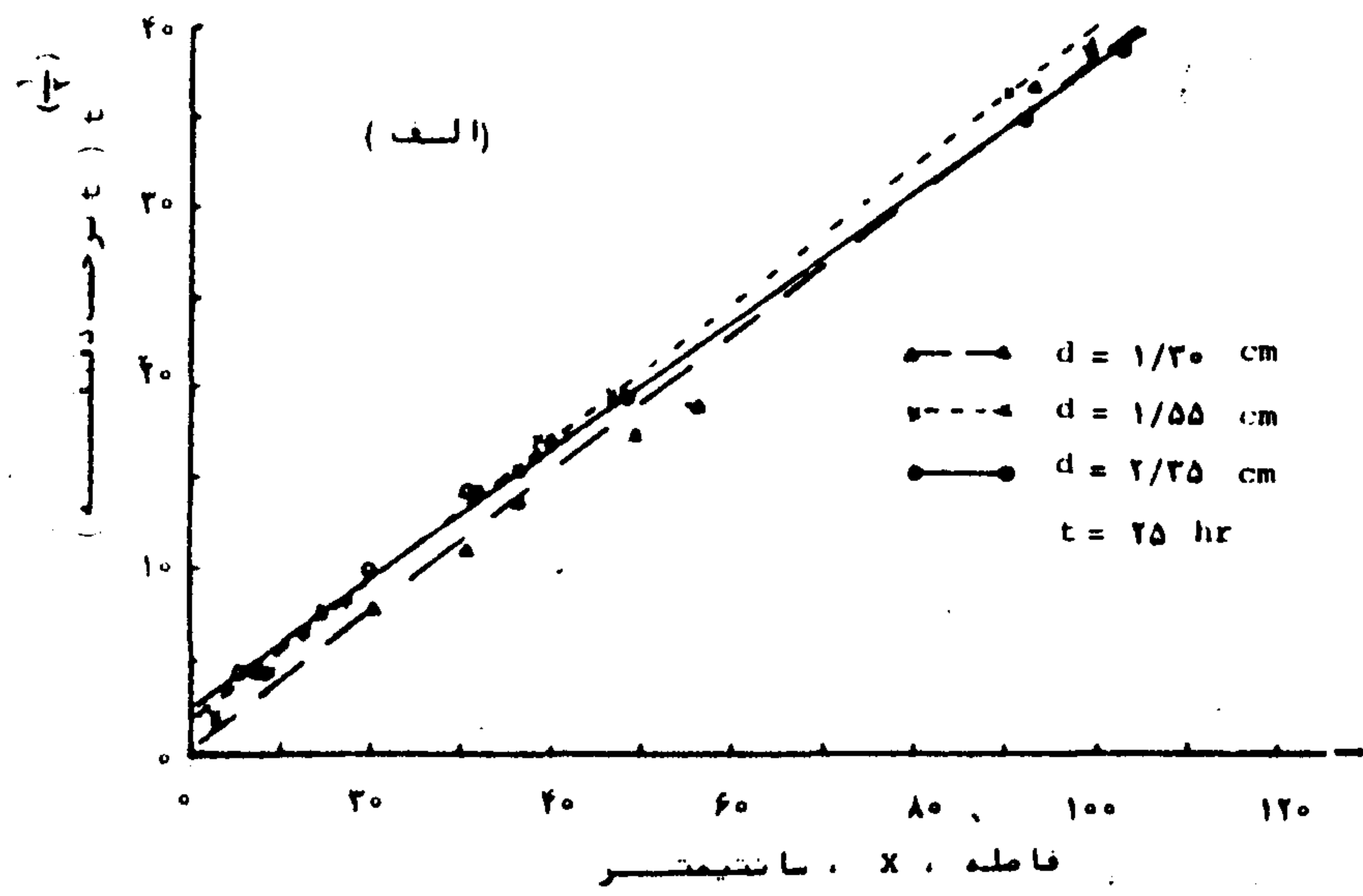
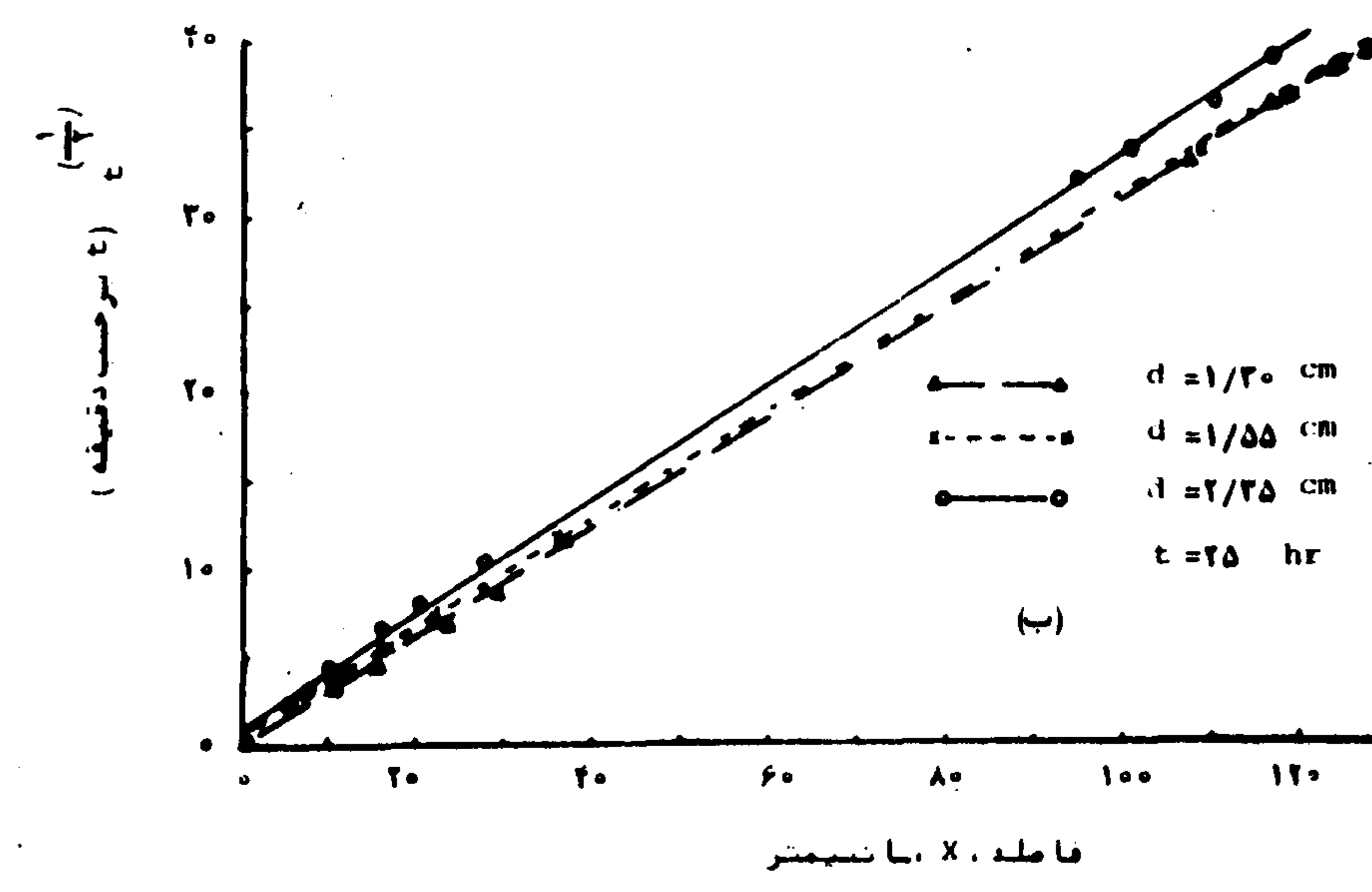
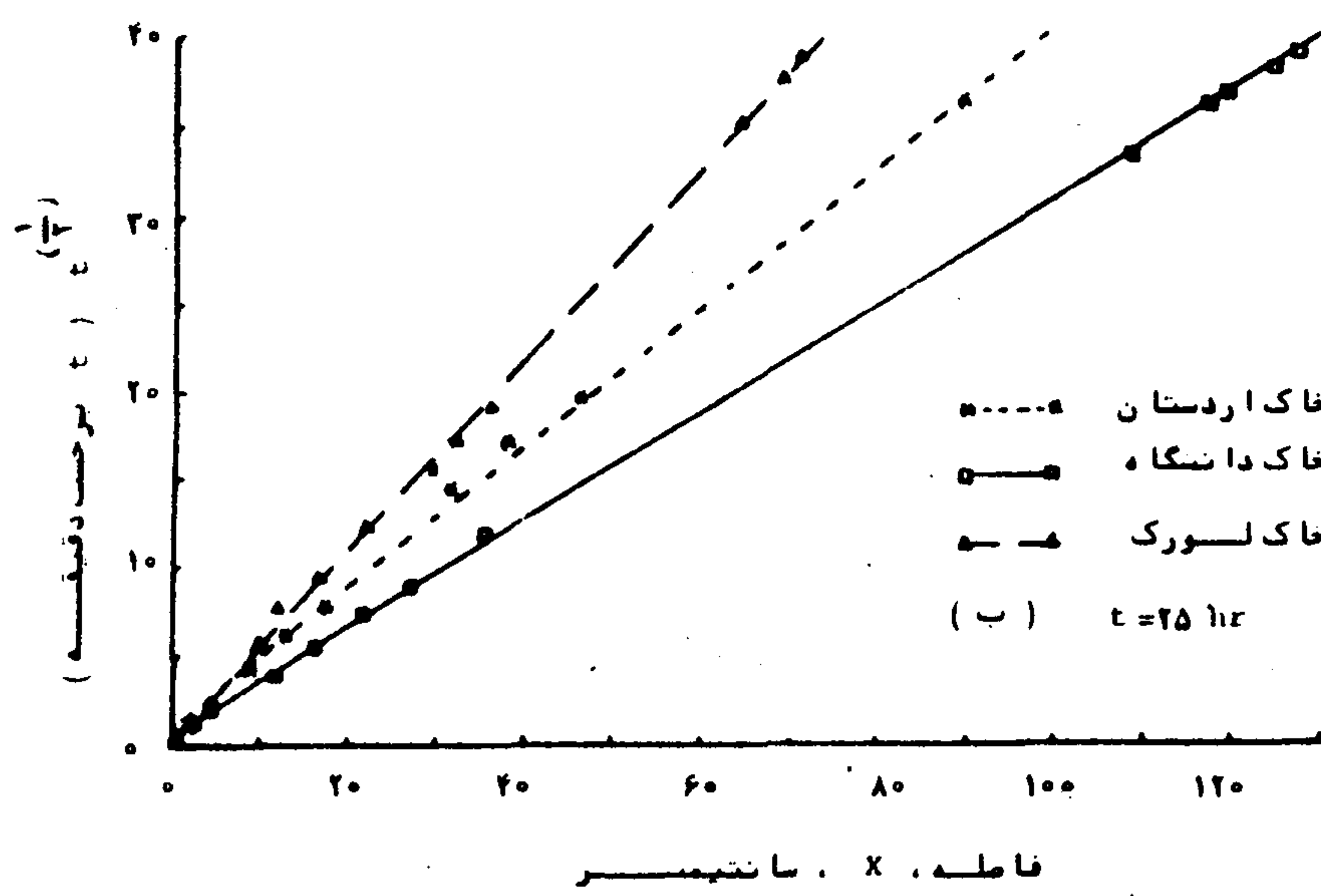
در قسمت (ب) شکل‌های ۲ تا ۴ دیده می‌شود که ضریب پخشیدگی در رطوبتهاي پائين کم بوده و با افزایش رطوبت به تدریج بر مقدار آن افزوده می‌شود. در رطوبت بین  $20$  تا  $30$  درصد حجمی، مقدار ضریب پخشیدگی "سریعاً" زیاد شده و در نزدیکی رطوبت اشبع به حالت جانب با محور افقی در می‌آید. در این قسمت نیز منحنی لوله  $2/35$  سانتیمتری در حد پائین شکل و لوله  $1/3$  سانتیمتری در حد بالاتر از دو منحنی دیگر قرار می‌گیرد. در رطوبتهاي پائين تر از  $20$  درصد مقدار ضریب پخشیدگی آب به قدری کم است که نقاط تقریباً بر روی محور عمودی قرار گرفته‌اند. مثلاً برای خاک لورک مقدار ضریب پخشیدگی در رطوبتهاي  $10$  و  $20$  درصد به ترتیب  $0.0011$ ،  $0.0038$  و  $0.0073$  سانتیمتر مربع بر دقیقه است. در این قسمت منحنی‌های ترسیم شده دارای فرمولهای خاصی هستند که در جدول ۲ برای هر خاک و هر قطر مشخص شده‌اند. با توجه به جدول ۲ مشاهده می‌شود که لوله  $1/55$  سانتیمتری دارای ضریب همبستگی (۲) بهتری نسبت به دوقطر دیگر است (البته تفاوت بین لوله  $1/3$  و  $1/55$  معنی دار نیست). رابطه بین فاصله افقی جبهه رطوبتی از مبدأ، نفوذ آب به خاک،  $x$ ، و جذر زمان،  $t^{(1/2)}$  در شکل‌های ۵ و ۶ نشان داده شده است. منحنی‌ها تقریباً

جدول ۲ - رابطه بین درصد رطوبت حجمی و ضریب پخشدگی در خاکهای مورد مطالعه

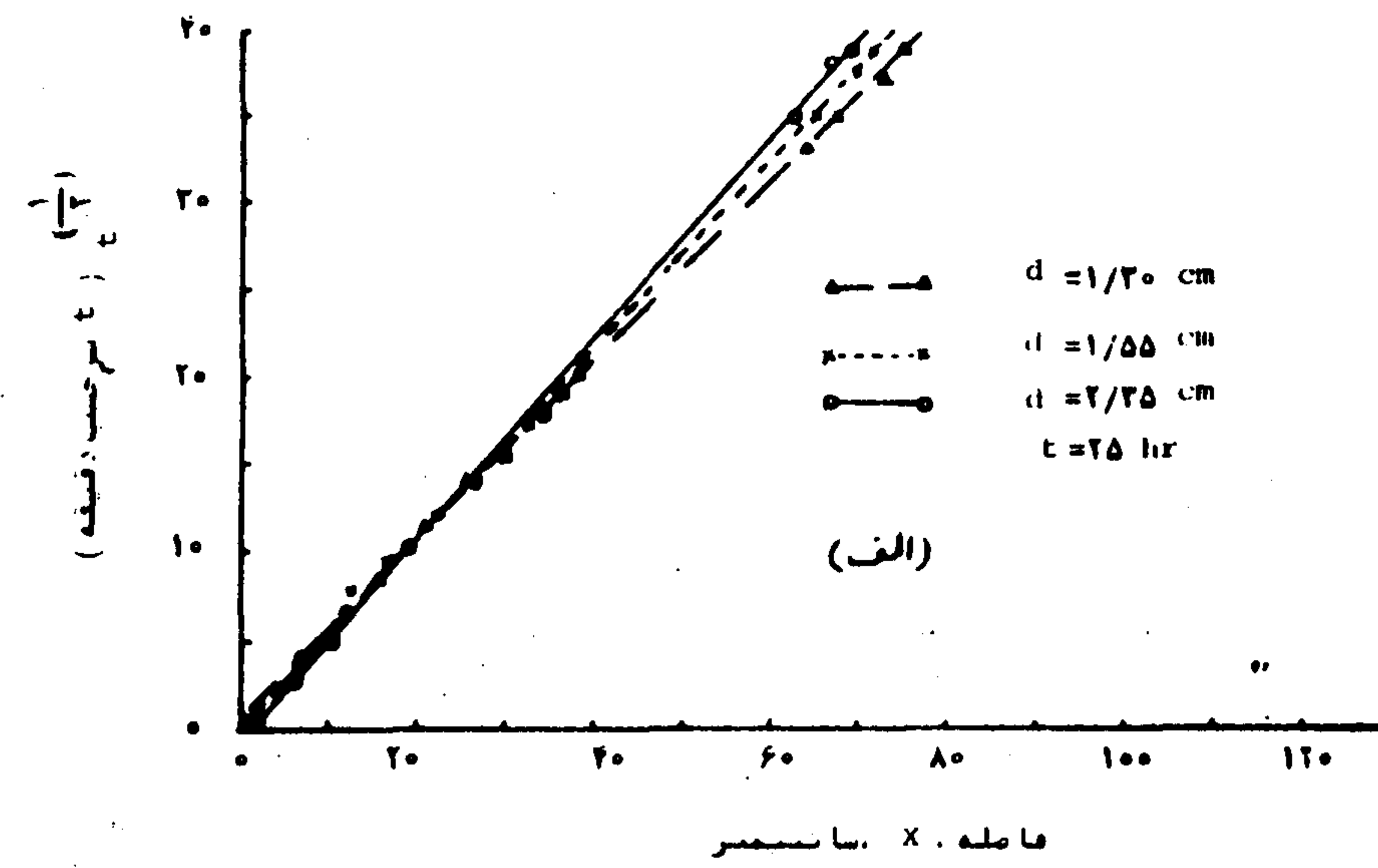
قطر لوله (cm)	خاک دانشگاه	خاک اردستان	خاک لورک
۱/۲	$\theta = 0/274 + 0/053 \ln D$ $r = 0/989$	$\theta = 0/350 + 0/060 \ln D$ $r = 0/981$	$\theta = 0/385 + 0/048 \ln D$ $r = 0/974$
۱/۵۵	$\theta = 0/266 + 0/052 \ln D$ $r = 0/989$	$\theta = 0/325 + 0/068 \ln D$ $r = 0/983$	$\theta = 0/385 + 0/044 \ln D$ $r = 0/976$
۲/۳۵	$\theta = 0/271 + 0/037 \ln D$ $r = 0/908$	$\theta = 0/319 + 0/061 \ln D$ $r = 0/975$	$\theta = 0/365 + 0/052 \ln D$ $r = 0/934$

و مقدار  $x$  به صورت عددی مثبت یا منفی ظاهر گشته است. دلیل این امر شاید صحیح نبودن کامل فرضیاتی است که در اشتاقاق فرمول حرکت افقی آب در خاک

شند کرکها و پاورز (۷) و یا براندیک و کرکها (۲) می‌باشد. نکته قابل ذکر در شکل‌های ۵ و ۶ و جدول ۲ این است که برای  $t = 0$  باید مقدار  $x = 0$  باشد، ولی چنین نشده



شکل ۵ - پیشروی جبهه رطوبتی در خاک لورک (الف) و دانشگاه (ب) .



شکل ۵ - پیشروی جبهه رطوبتی در خاک لورک (الف) و دانشگاه (ب) .

جدول ۳- روابط فاصله جبهه رطوبتی (سانتیمتر) و جذر زمان (دقیقه) برای خاکهای مورد مطالعه

قطر لوله (سانتیمتر)	خاک دانشگاه	خاک اردستان	خاک لورک
۱/۳	$x = ۳/۲۵ t^{(1/2)} + ۰/۷۵۴$ $r = ۰/۹۹۹۹$	$x = ۲/۶۰ t^{(1/2)} + ۰/۴۴$ $r = ۰/۹۹۴$	$x = ۱/۹۷ t^{(1/2)} - ۱/۱۳$ $r = ۰/۹۹۹۸$
۱/۵۵	$x = ۳/۳۳ t^{(1/2)} - ۱/۸۳$ $r = ۰/۹۹۹۹$	$x = ۲/۵۴ t^{(1/2)} - ۲/۴۲$ $r = ۰/۹۹۸$	$x = ۱/۸۶ t^{(1/2)} - ۰/۱۸۴$ $r = ۰/۹۹۹$
۲/۳۵	$x = ۳/۱۰ t^{(1/2)} - ۳/۲$ $r = ۰/۹۹۹۵$	$x = ۲/۷۷ t^{(1/2)} - ۶/۰۳$ $r = ۰/۹۹۷$	$x = ۱/۷۳ t^{(1/2)} + ۱/۲۹۱$ $r = ۰/۹۹۹$

غیر اشباع مورداستفاده قرار گرفته و همچنین سایر ناچیز کردن اثر پتانسیل ثقلی بر روی حرکت افقی آب شرایط کاری در عمل باشد.  
 (۷)، داشتن ضریب همبستگی بالا در معادلات ضریب بطور کلی به نظر می رسد که لوله با قطر ۱/۵۵ سانتیمتر از لحاظ راحتی کار، یکنواختی خاک داخل آن، پخشیدگی و رطوبت، در مطالعه حرکت افقی آب در خاک غیر اشباع بر سایر قطرها ارجحیت داشته باشد.

## REFERENCES:

- 1 - Ashcroft, G., D.D. Marsh, D.D. Evans, & L. Boersma. 1962. Numerical method for solving the diffusion equation: I. Horizontal flow in semi-infinite media. Soil Sci. Soc. Proc. 26: 522-525.
- 2 - Brandyk, T., & D. Kirkham. 1981. Examination of diffusivity theory for muck and sand. Annals of Warsaw Agricultural University, SGGW-AR Land Reclamation No. 19 PP. 3-8.
- 3 - Bruce, R.R., & A. Klute. 1956. The measurement of soil moisture diffusivity. Soil Sci. Soc. Amer. Proc. 20: 458-462.
- 4 - Davidson, J.M., J.W. Biggar, & D.R. Nielsen. 1963. Gamma-radiation attenuation for measuring bulk density and transient water flow in porous materials. J. Geo. Res. 68: 4777-4783.
- 5 - Flocker, W.J., M. Yamaguchi, & D.R. Nielsen. 1968. Capillary conductivity and soil water diffusivity value from vertical soil columns. Agron. J. Vol. 60: 605-610.
- 6 - Grismer, M.E. 1987. Vapor adsorption kinetics and vapor diffusivity. Soil Science, 144(1): 1-5.

- 7 - Kirkham, D., & W.L. Powers. 1972. Advanced soil Physics. Wiley- Interscience, N.Y., 534 pp.
- 8 - Klute, A., F.D. Whisler, & E.J. Scott. 1965. Numerical solution of the nonlinear diffusion equation for water flow in a horizontal soil column of finite length. Soil Sci. Soc. Amer. Proc. 29: 353-358.
- 9 - Sadeghi, A.M., D.E. Kissel, & M.L. Cabrera. 1988. Temperature effects on urea diffusion coefficients and urea movement in soil. Sci. Soc. Am.J. 52: 46-49.
- 10- Selim, H., D. Kirkham, & M. Amemiya. 1970. A comparison of two methods for determining soil water diffusivity. Soil Sci. Soc. Am. Proc. 34: 14-18.
- 11- Whisler, F.D., A. Klute, & D.B. Peters. 1968. Soil water diffusivity from horizontal infiltration. Soil Sci. Soc. Amer. Proc. 32: 6-11.

Determination of Water Diffusivity and Wetting Front Curves  
of Three Soils in Isfahan Province.

S.F. MOUSAVI and A.H. REZAEI

Assistant Professor and M.S., College of Agriculture Isfahan  
University of Technology, Isfahan, Iran.

Received for Publication December 17, 1989.

SUMMARY

To study unsaturated flow in soil, water diffusivity curve,  $D(\theta)$ , is needed. In 1956, Bruce and Klute devised a method to measure water diffusivity in soil by infiltration of water in a horizontal soil tube. After Bruce and Klute, other researchers have done some research and used Gamma ray to determine moisture content and finally diffusivity coefficient. Since the Gamma-ray apparatus is not available to everyone in Iran, it seems that the following method is applicable to determine diffusivity coefficient in different soil moisture contents.

In this experiment, diffusivity coefficients of three soils from Lavark Najafabad Isfahan University of Technology's Farm and Ardestan (having texture of silty clay, sandy loam, and sandy clay loam, respectively) were analyzed. Soil tubes, with diameter of 1.3, 1.55, and 2.35 cm and length of 150 cm, were cut in 5 cm pieces and connected again by paper tape. Sieved soil was poured uniformly in the glass tubes. A mariotte bottle supplied the necessary water. The start of the experiment was recorded by a cornometer and the position of the wetting front was marked on the soil tube. After 25 hours, soil sections were separated by a sharp cutter and moisture content and bulk density of each section was measured. Curves of volumetric moisture content versus distance were drawn and diffusivity coefficients were calculated, using Bruce and Klute equation. Curves of wetting front position for three soils and three tube diameters were drawn and their regression equations were calculated.

The results showed that: a) the value of diffusivity coefficient is low in low moisture contents and increases with increasing soil moisture content, b) after 25 hours, wetting front of sandy loam soil has advanced more than the other two soils, c) the value of diffusivity coefficients in different tubes are different, and d) the uniformity of soil compaction in the tubes was good and the standard deviation of the measured bulk density values was less than 0.057.